

埼玉大学 工学部 正会員 ○ 渡辺伸夫  
 " " " 佐藤邦明

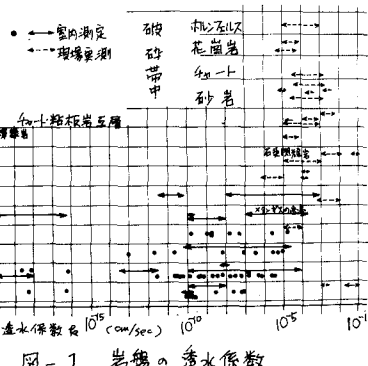
### はじめに

岩盤の透水性は、主な浸透経路となる岩盤内のCRACK形状、方向性、分布、連続性などに大きく影響される。一方、CRACKのどうし、たとえば複雑であり、統一的に把握することが難しく、そのため透水性の評価が従来十分に行なわれてこゝとは言ひ難い。(しかし、工学的に岩盤中の浸透流の性質を明らかにすることは重要であり、CRACK系の特性を考慮に入れた透水性の評価が必要であろう。筆者らは従来、岩盤浸透流に注目し、透水性に関する種々のCRACK形状の影響を検討してきたが、今回は岩盤透水係数についていくつかの室内実験を行なうので報告する。)

### 1 岩盤の透水係数に関する従来の研究成果と問題点

岩盤の透水性を把握するため、まず従来報告されている岩盤透水係数を整理し、調べてみる。図-1はそういう報告をまとめたもので、横軸は透水係数値、縦軸は岩種をあらわし、一部破碎帶中の岩石を示してある。図中の・、→は室内実測値であり、←→はレジオン試験などによる現場実測結果である。この図から、岩盤の透水係数は同種の岩石であっても非常に大きな変化域を持ち、それはたとえば花崗岩や石灰岩では $10^1$ 程度となつてゐるが、それより花崗岩や石灰岩では $10^{11}$ 程度となる。大きな変化域を持つ理由の一つには、CRACKの方向性があげられよう。たとえば、CRACK面と平行方向の透水性は直交方向に比べて大きくなる。

(しかし、最も大きな理由は、CRACK開口度と連続性の問題であろう。一般に、岩盤は破壊や風化程度が進むと透水性が高くなるが、これはCRACKの開口度が増したり、CRACK相互が連結し浸透経路が増加するからと考えられる。図-1の結果もさうなり、たとえば花崗岩や石灰岩では $10^1$ 程度となつてゐるが、それより花崗岩や石灰岩では $10^{11}$ 程度となる。なぜかといふと、岩盤のCRACK形状は非常に複雑である。そのため今回は、定量把握の第一歩として、透水性を、簡便率のような測定可能量でくがも、ある程度CRACK形状と結びつきうる量で評価することを考え、実験的に検討してみた。またあわせて、岩盤浸透流に与える他の諸性質についても考察した。



を浸透過した水はピューレットに導き、透水量を測定し変水位試験と同様にして透水係数を算定する。ピューレットは径の異なるもの3本あり、透水量に応じて適当なものを使用する。岩石試料の大きさは径5cm、長さ10cm内外で、長さ方向の透水係数を測定する。実験中、岩石はゴムメンブレンにより三軸室内の側圧供給用の水と隔てられており、この装置で問題となるのは、メンブレンを通して三軸室内より岩石中に流入する水と、岩石表面とメンブレンとの間を通過する水の有無である。これらの点について予備実験を行ったが、前者については岩石の透水係数が $10^{-8} \text{ cm/sec}$ 以上であれば、ほとんど問題はない。しかしながら以下の透水係数ではメンブレンを2枚にしたり、間にシリコングリスを塗り込むなどの配慮が必要である。また、後者については、側圧が浸透圧より、 $1.5 \sim 2.0 \text{ kg/cm}^2$ 以上高ければほどほど影響せず、実験中も常時この条件を設定した。

### 3 実験結果と考察

実験は草木ダム付近で得られた花崗岩を中心に行って、また大谷石を用いて比較した。試料番号および間隙率については表-1にまとめた。花崗岩試料はすべて同一場所で同方向にコアサンプリングしたもので、間隙率の変化は、マッフル炉で順次強熱・冷却することによりえた。実験結果であるが、まず図-3は試料A-1、C-1について流速(V)と動水勾配(I)の関係をみたものである。結果を全体的にみるとほぼ直線関係といえ、ダルシー則に従うようである。しかし詳細に検討すると、Iが小さくなるにつれて、水、やや直線から傾きが緩くなるようにみえ、また直線が原点を通らない。実際、各点で透水係数を算定すると、図中に示したように、Iがほぼ100以下の領域で小さくなる。このことは、粘土の透水実験がみられるように、Crack中の水の吸着効果によるものと考えられよう。つぎに、間隙率と透水係数との関係をみたものが図-4である。図中、横軸に間隙率(%)、縦軸に透水係数(透)を対数表示したが、この図から透水係数は間隙率によらず、 $\text{透} = C \cdot I^m$ の形であらわされるようである。C、mは定数でありCは約4.2と読みとれる。従来、通常のPorous mediaでは透水係数は間隙率を表現できるとされ、たとえばTerzaghi式( $I \propto (\frac{\Delta h}{L})^2$ )、Zumke式( $I \propto (\frac{L}{\Delta h})^2$ )、Kozemy-Domot式( $I \propto (\frac{L}{\Delta h})^{2.3}$ )がある。これららの式が、今回の実験のように $I = \text{数} \%$ という領域で成立するかどうかは疑問であるが、比較のため図中をこれらの式の性質を示しておいた。その結果、岩盤ではPorous mediaに比べて間隙率の影響が大きくあらわされていくことがわかる。このことは興味深いもので、実際問題として岩盤中にトンネルや地下空洞を掘削すると、周囲の地山がゆるむ現象が起るが、図-4の性質はゆるみによても、透水係数が躍進的に増大することを示している。さらに図-5は、透水係数に与える岩盤周囲の応力状態の影響をみたもので、側圧を $4.65 \text{ kg/cm}^2$ 一定とし、軸圧を $50 \text{ kg/cm}^2$ まで変化させた。図中、横軸は軸圧(Pa)を示し、縦軸は軸圧0の状態での透水係数と、軸圧Paでの透水係数 $I_{Pa}$ との比( $\frac{I_{Pa}}{I_0}$ )をあらわしている。今回の結果、花崗岩では応力状態の影響をかなり受け、また応力履歴の現象がみられたが、大谷石ではほとんど変化がない。このことは、浸透経路となる間隙の構造が、岩石によって種々異なる可能性を示唆しているものであろう。以上、実験結果を概観したが、今後Crack性状を定量化し、透水性と結びつける方向で研究を続けてゆきたいと考える。

表-1 実験試料

岩石名	試料番号 間隙率(%)				
	A-1 1.59	A-2 4.38	A-3 7.05	B-1 1.02	B-2 1.12
C	C-1 1.58	C-2 1.80	C-3 2.11	C-4 3.26	C-5 4.32
D	D-1 2.18				
E	E-1 29.0				
大谷石					

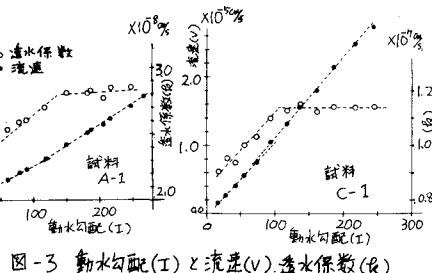


図-3 動水勾配(I)と流速(V)、透水係数(透)

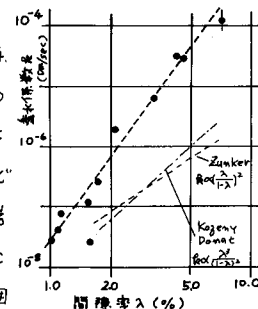


図-4 間隙率と透水係数

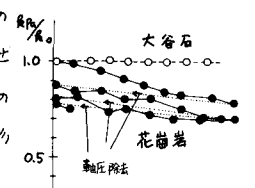


図-5 軸圧と透水係数変化(側圧 $4.65 \text{ kg/cm}^2$ )